

# ارزیابی شروع و کنترل پدیده ای افت انتقال حرارت متان گذر بحرانی درون کanal مستطیلی

عباس ابراهیمی\*

هریم شکری (دانشجوی دکتری)

دانشکده هندسی هواپیما، دانشگاه صنعتی شریف، تهران

درون کanal های خنک کاری، به دلیل گردیدن دمای بالای نزدیک دیواره، عدد رینولدز بالا و هندسه ای سه بعدی مسیرها، خنک کننده با پدیده هایی از جمله تعییر رژیم و افت انتقال حرارت مواجه خواهد شد. با گرم شدن متان با فشار فوق بحرانی، دمای آن از مقدار شبیه بحرانی عبور کرده و شبیه تعییر فازی اتفاق می افتد. همچنین، در نواحی بحرانی امکان افت انتقال حرارت در شار حرارتی زیاد و نزخ جریان جرمی پایین وجود دارد. در پژوهش حاضر، با استفاده از نتایج شبیه سازی انتقال حرارت متان در کanal MTP به مطالعه ای پارامتری افت انتقال حرارت در شار حرارتی، فشار و رودی، دمای و رودی، دبی جرمی و زیری سطح مختلف پرداخته شده است. همچنین، روابطی با خطای کمتر از یک درصد برای پیش بینی شروع افت انتقال حرارت متان در فشار ۶ تا ۲۰ مکاپاسکال استخراج شده است. در نهایت، روش هایی برای کنترل پدیده ای افت انتقال حرارت به کمک افزایش دمای و رودی، دبی جرمی، زیری سطح، ذشار و رودی و همچنین کاهش شار حرارتی پیشنهاد شده است.

**واژگان کلیدی:** انتقال حرارت همبند، متان گذر بحرانی، دمای شبیه بحرانی، کanal مستطیلی، افت انتقال حرارت.

## ۱. مقدمه

در شارهای حرارتی بالا اتفاق می افتد و شروع افت انتقال حرارت با استفاده از نزخ دبی جرمی جریان تعیین می شود. پیورو و دوفی<sup>[۱]</sup>، پژوهش های انجام شده برای درک انتقال حرارت در آب فوق بحرانی را بررسی کرده و مشاهده کرده اند که ضریب انتقال حرارت نزدیک نقاط بحرانی مقدار کمیته را از خود نشان می دهد. گراینا یا و کیریلف<sup>[۲]</sup>، در بررسی انتقال حرارت آب، دی اکسید کربن و R1۲ در فشارهای فوق بحرانی با مقایسه ای داده های تجربی خود و نتایج حاصل از روابط پیشنهادی برای پیش بینی شروع HTD مشاهده کرده اند که اختلاف زیادی بین روابط و نتایج تجربی وجود دارد و براین اساس رابطه ای جدیدی برای شروع HTD پیشنهاد دادند. چنگ و همکاران<sup>[۳]</sup>، ضمن شبیه سازی انتقال حرارت آب فوق بحرانی در کanal های مختلف با استفاده از نرم افزار CFX-۵.۶، به بررسی اثر شبکه، مدل های آشفتگی و شکل کanal پرداختند؛ آنها نشان دادند که با دور شدن دمای حجمی سیال از مقدار بحرانی شدت HTD کمتر می شود. ژو و همکاران<sup>[۴]</sup>، انتقال حرارت پتان<sup>۱</sup> فوق بحرانی در سیستم خنک کاری بازیابی موقعاً سکرمت توسعه فلئنت را تحلیل کرده اند؛ آنها با بررسی افت انتقال حرارت پتان در شرایط مختلف، رابطه بین برای پیش بینی این پدیده بر حسب شار حرارتی بحرانی، نزخ دبی جرمی و فشار و رودی پیشنهاد داده اند. پور بانو و ناسوتی<sup>[۵]</sup>، ضمن بررسی دو بعدی جریان متان درون کanalی دایروی، احتمال وقوع افت انتقال حرارت را نیز بررسی کرده اند. آنها معیاری برای تعیین شروع HTD با پارامتر شار به دبی جرمی آستانه به دست آورده و رابطه بی پیشنهاد داده اند.

در موتورهای واقعی، زمانی که سیالی با فشار فوق بحرانی گرم می شود، دمای آن از مقدار شبیه بحرانی عبور کرده و شبیه تعییر فازی اتفاق می افتد. این امر می تواند منجر به افت انتقال حرارت به ویژه در شار حرارتی بالا و نزخ جریان جرمی پایین شود. در این نواحی به دلیل افت ضریب انتقال حرارت سیال خنک کننده، روند انتقال حرارت از دیواره به سیال با مشکل رو به رو می شود و با بالا رفتن دمای دیواره کanal، امکان ذوب دیواره وجود دارد. بنابراین، بررسی این پدیده در روند تحلیل حرارتی متان کاربردهای خنک کاری امری ضروری است. این پدیده در مطالعات به صورت تجربی و عددی مشاهده شده است. نتایج به دست آمده در تحقیقات مختلف نشان می دهند که پارامترهای تأثیرگذار بر پدیده ای افت انتقال حرارت عبارت اند از نسبت شار حرارتی به نزخ دبی جرمی بر واحد سطح فشار و رودی، شار حرارتی، دبی جرمی، دمای و رودی و زیری سطح. با این حال، شرایط جریان که نتیج افت انتقال حرارت اتفاق می افتد کاملاً مشخص نشده است. این بدان معناست که رفتار هر سیال در شرایط بحرانی متفاوت است و برای هر سیال باید مطالعات مناسب آن انجام شود.

مطالعات تجربی یاماگاتا و همکاران<sup>[۶]</sup> در خصوص انتقال حرارت آب فوق بحرانی در لوله های دایروی انجام شد؛ آنها دریافتند که مشخصه های افت انتقال حرارت

\* نویسنده مسئول

تاریخ: دریافت ۱۲/۵/۱۳۹۷، اصلاحیه ۱۳۹۸/۳/۲۲، پذیرش ۱۳۹۸/۴/۲۲

DOI:10.24200/J40.2019.52922.1506

حرارت خنک‌کننده‌ی متنانی درون کاتال مستطیلی برای محدوده‌ی گستردگی از فشار ورودی مناسب نیست. بنابراین هدف مطالعه‌ی حاضر بررسی افت انتقال جریان خنک‌کننده‌ی متنانی درون کاتال‌های مستطیلی و شرایط عملکردی واقعی در نظر گرفته شده است.

در این پژوهش برای تحلیل و استخراج روابط مرتبط با پدیده افت انتقال حرارت، حل‌گری سه بعدی برای تخمین پارامترهای تأثیرگذار در شناسایی این پدیده با استفاده از مقادیر متوسط و میانگین‌گیری شده‌ی خواص ترموفیزیکی توسعه داده شده است. در نوشتار حاضر، مطالعه‌ی پارامتری پدیده HTD با استفاده از نتایج شبیه‌سازی انتقال حرارت همبند متان در کاتال MTP برای نزد انتقال حرارت، فشار ورودی، دمای ورودی، دبی جرمی و زبری سطح مختلف انجام شده است. همچنین روابطی برای پیش‌بینی شروع پدیده افت انتقال حرارت متان در طول کاتال خنک‌کاری مستطیلی استخراج شده است.

## ۲. فیزیک سیال خنک‌کننده و روش مدل‌سازی عددی

سیال خنک‌کننده در تمام مسیر خنک‌کاری، فشاری بالاتر از مقدار بحرانی دارد و در حین عبور از این مسیرها، دمای زیربحرانی آن با گرفتن گرمای دیواره‌ی کاتال به مقدار فرابحرانی می‌رسد. در حین عبور از دمای شبه‌بحرانی، مشخصات ترمودینامیکی سیال به شدت تغییر می‌کند.<sup>[۱۸]</sup> رزیم ترمودینامیکی که سیال این تغییرات را در خواص تجربه می‌کند، به عنوان رزیم گذر بحرانی شناخته می‌شود. در فشارهای فوق بحرانی، مرز مشخصی بین فاز مایع و گاز وجود ندارد. بنابراین، فاز سیال خنک‌کننده در حین عبور از رزیم گذر بحرانی تغییر نمی‌کند بلکه از حالت شبه‌مایع به شبه‌گاز تغییر ماهیت می‌دهد. مقادیر فشار و دمای بحرانی متان به ترتیب برابر  $p_c = ۴/۶ \text{ MPa}$  و  $T_c = ۱۹۰/۵ \text{ K}$  هستند.

با هدف شبیه‌سازی سه بعدی انتقال حرارت همبند از دیواره به سیال خنک‌کننده، حل‌گری شامل دو قسمت کلی «جامد» و «سیال» توسعه یافته است. در قسمت جامد از شکل ساده شده‌ی معادله ارزی برای هدایت حرارت استفاده شده است. در قسمت سیال برای حل جریان تراکم‌پذیر سیال خنک‌کننده از معادلات سه بعدی تراکم‌پذیر ناپیر-استوکس متوسط‌گیری شده به روش رینولدز به همراه معادله ارزی و مدل آشفتگی استفاده شده که روابط استفاده شده را می‌توان به شکل کلی رابطه‌ی ۱ نشان داد.<sup>[۱۹]</sup> برای همبند کردن دو قسمت جامد و سیال از فرض تعادل حرارتی استفاده شده است:

$$\frac{\partial}{\partial t}(\rho\Phi) + \frac{\partial}{\partial x_i}(\rho u_i \Phi) = \frac{\partial}{\partial x_i} \left[ \Gamma_\Phi \frac{\partial \Phi}{\partial x_i} \right] + S_\Phi \quad (1)$$

که در آن  $\Phi$  معرف کمیت انتقالی،  $\Gamma_\Phi$  معرف ضرایب نفوذ و  $S_\Phi$  عبارت چشمی است. همچنین،  $\rho$  و  $u_i$  نشان‌دهنده‌ی چگالی و مؤلفه‌های سرعت‌اند. این شکل از معادلات اغلب در روش حجم محدود کاربرد دارد. در حل‌گر حاضر برای شبیه‌سازی رفتار حرارتی متan در رزیم گذر بحرانی از معادله‌ی حالت و ظرفیت گرمایی ویژه‌ی کانز و واگنر<sup>[۲۰]</sup> درصد خطای معادله‌ی حالت کانز و واگنر برای محاسبه‌ی چگالی کمتر از ۱٪ درصد، سرعت صوت کمتر از ۱٪ درصد، آنتالپی ۰/۲ درصد و ظرفیت گرمایی برابر با ۱ درصد است. همچنین خواص انتقال شامل ضریب هدایت حرارتی<sup>[۲۱]</sup> و ضریب لزجت<sup>[۲۲]</sup> از مطالعات موجود استخراج شده‌اند.

وانگ و همکاران<sup>[۲۳]</sup>، با شبیه‌سازی عددی انتقال حرارت جابه‌جاوی فوق‌بحرانی روی ساخت هیدروکربن (n-decane) درون لوله‌ی دایروی توسط فلوئنت و نیز با توسعه‌ی رابطه‌ی برای شار حرارتی بحرانی در شرایط HTD، نشان دادند که افزایش فشار باعث کاهش و حذف افت انتقال حرارت متan شود. لیو و همکاران<sup>[۲۰]</sup>، به تحلیل عددی انتقال حرارت ساخت China RP-۳ aviation kerosene درون کاتال دایروی پرداخته‌اند. در این تحقیق بیان شده که افت انتقال حرارت ناشی از ترکیب بویانسی و تغییر شعاعی خواص در نزدیکی جریان کم است. پیزارلی<sup>[۲۱]</sup>، انتقال حرارت جابه‌جاوی متan فوق‌بحرانی درون کاتال دایروی را به صورت عددی شبیه‌سازی و رابطه‌ی برای ناسلت در شرایط بروز افت انتقال حرارت، صرف نظر از اثرات بویانسی، استخراج کرده است. چنگ و همکاران<sup>[۲۴]</sup>، به شبیه‌سازی عددی انتقال حرارت فوق‌بحرانی ساخت هیدروکربن (RP-۳) در لوله‌ی دایروی گرم شده با قطرها و فشارهای مختلف پرداخته‌اند. در این مقاله اثر هندسه و فشار روی HTD مطالعه و رابطه‌ی برای پیش‌بینی شروع این پدیده بر پایه‌ی تأثیر هندسه و فشار پیشنهاد شده است. چای و همکاران<sup>[۲۵]</sup>، انتقال حرارت کربن دی‌اکسید فوق‌بحرانی<sup>۲</sup> نزدیک نواحی بحرانی در لوله‌ی عمودی و دایروی را بررسی کرده‌اند. در این مقاله ادعا شده که نیروی بویانسی در صورت بالا بودن شار حرارتی، عامل ایجاد HTD در لوله‌ی دایروی است. آرون و پراکاش<sup>[۲۶]</sup>، به منظور مطالعه‌ی پارامتری HTD در کاتال‌های خنک‌کاری مستطیلی، انتقال حرارت متan فوق‌بحرانی را در کاتال‌هایی با نسبت منظری و شار حرارتی مختلف بررسی کرده‌اند. ابراهیمی و شکری<sup>[۲۷]</sup> با مطالعه‌ی عددی جنبه‌های بحرانی انتقال حرارت همبند در مجرای‌های خنک‌کاری بازیابی موتورهای متان‌پایه، تأثیر پارامترهای ترمودینامیکی و هندسی مختلف را بر پدیده HTD بررسی کردند. آنان همچنین، روابط مختلفی برای تخمین دمای بحرانی، چگالی بحرانی، عدد ناسلت و ضریب انتقال حرارت متan در شرایط مختلف پیشنهاد دادند. هیمیش و همکاران<sup>[۲۸]</sup> با انجام چند آزمون تجربی روی محظوظی احتراقی کوچک‌مقیاس با خنک‌کننده‌ی متانی به بررسی HTD پرداخته‌اند. در این تحقیق اثر تضییع منظری کاتال خنک‌کاری بر HTD مطالعه و بیان شده است که شدت این پدیده در کاتال‌هایی با نسبت منظری کوچک‌تر پیشتر است. آنها همچنین با استفاده از داده‌های تجربی خود به بررسی دقت رابطه‌ی پوربانو و ناسوتی<sup>[۲۹]</sup> در پیش‌بینی شروع HTD متan پرداخته و بیان کردند که این رابطه چون برای مدلی دایروی و دو بعدی با حرارت دهنده متقاض استخراج شده، لازم است برای کاتال‌های مستطیلی در شرایط عملکردی موتورهای واقعی اصلاح شود.

با بررسی تحقیقات انجام شده در زمینه‌ی HTD مشاهده شد که بیشتر کارهای قابلی مبتنی بر توانایی توصیف این پدیده با مدل‌های عددی پیشنهادی برای سیال آب یا دی‌اکسید کربن بوده است. در میان این تحقیقات، مطالعات اندکی در زمینه‌ی HTD روی متan یافت می‌شود که توسط پوربانو و همکارانش<sup>[۲۰-۲۶]</sup> و پیزارلی<sup>[۲۱]</sup> انجام شده که تمام این تحقیقات محدود به کاتال‌های دایروی و مدل‌های دو بعدی است. البته، در برخی از مطالعات افت انتقال حرارت ضعیفی در آزمون‌های متan درون کاتال مستطیلی مشاهده شده<sup>[۲۱]</sup> و لی در خصوص رفتار این پدیده بررسی‌های لازم انجام نشده است. همان‌طور که اشاره شد، تحقیقات در زمینه‌ی افت انتقال حرارت در جریان متan، محدود به چند کار عددی بوده که درون کاتال‌های دایروی با شرایط دور از شرایط عملکردی موتورهای واقعی انجام شده است. همچنین، با توجه به شرایط عملکردی متan در پژوهش حاضر، کارایی برخی از روابط ارائه شده در مقالات برای پیش‌بینی افت انتقال حرارت متan بررسی و مشاهده شد که هیچ کدام از روابط ارائه شده در مقالات برای پیش‌بینی شروع افت انتقال

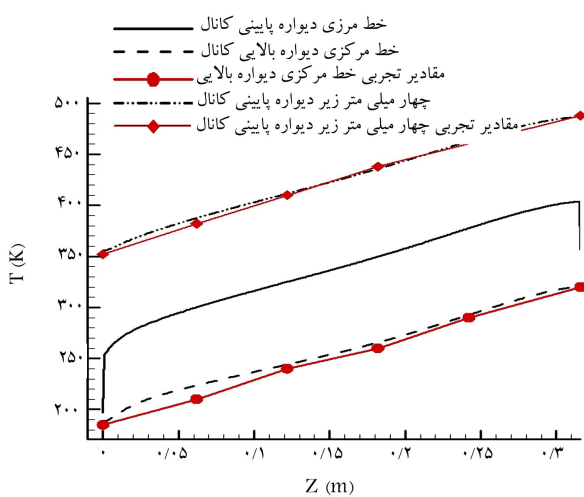
(در  $T = 650\text{ K}$ ) نا  $k_w = 365\text{ W}$  (در  $T = 298\text{ K}$ ) در نظر گرفته شده است.

خلاصه نتایج حاصل از شبیه‌سازی سه آزمون در جدول ۲ ارائه شده است. با توجه به این‌که دما در ورودی و فشار در خروجی کانال مستطیلی به عنوان شرط مرزی در حل‌گر مقداردهی می‌شوند، مقادیر معرف اختلاف دمای خروجی و فشار ورودی شبیه‌سازی حاضر با داده‌های تجربی آزمون MTP است. این مقادیر در آزمون‌های گرم کمتر از یک درصد بوده که نشان‌دهنده دقیق خوب نتایج شبیه‌سازی حاضر هستند. همچنین در شکل ۲ توزیع دما در طول کانال برای دو موقعیت از ناحیه آزمون ۱. داده‌های تجربی ارائه شده توسط [۳۰-۳۵] برای سه آزمون شبیه‌سازی شده در پژوهش حاضر.

آزمون	$m$ [g/s]	$T_{in}$ [K]	$T_{out}$ [K]	$P_{in}$ [MPa]	$P_{out}$ [MPa]	$q$ [kW]
آزمون سرد						
۱	۱۵,۷۲	۱۳۳	۱۳۵	۸,۵۷۲	۸,۳	۰
آزمون‌های گرم						
۲	۲۰,۷۸	۱۳۷	۲۴۴,۶	۱۱,۲	۱۰,۳	۱۰,۷
۴	۲۰,۵۷	۱۴۱	۲۶۲,۸	۱۲,۹	۱۲,۰۶	۱۱

جدول ۲. خلاصه نتایج حاصل از پژوهش حاضر.

آزمون	$T_{in}$ [K]	$T_{out}$ [K]	% $\Delta T_{out}$	$P_{in}$ [MPa]	$P_{out}$ [MPa]	% $\Delta P_{in}$
آزمون سرد						
۱	۱۳۳	۱۳۳	....	۸,۵۷۱	۸,۳	....
آزمون‌های گرم						
۲	۱۳۷	۲۴۶	۰,۶	۱۱,۱	۱۰,۳	-۰,۹
۴	۱۴۱	۲۶۳,۶	۰,۳	۱۲,۸۵	۱۲,۰۶	-۰,۴



شکل ۲. توزیع دمای دیواره در ناحیه جامد برای آزمون ۴.

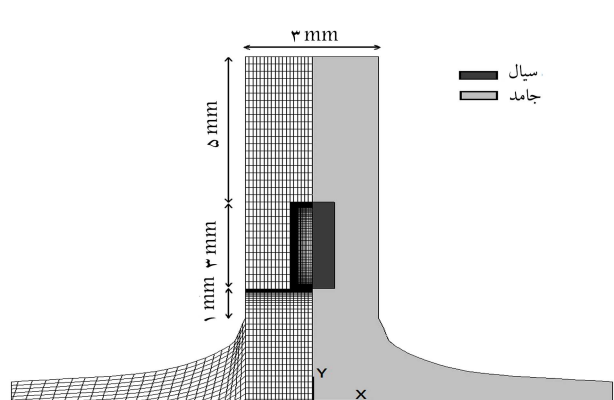
در حل‌گر حاضر، روش گسسته‌سازی حجم محدود مرتبه دو است و الگوریتم حل عددی روش سیمیل سی بوده است. در پژوهش حاضر از تقریب بالادست برای محاسبه‌ی عبارت تصحیح چگالی و تقریب میان‌یابی مرکزی برای چگالی در معادلات مومنتم استفاده شده است. به دلیل ماهیت بیضوی عبارت‌های نفوذ از روش تقریب میان‌یابی مرکزی برای گسسته‌سازی آنها استفاده شده است. به علاوه، گسسته‌سازی عبارت‌های جابه‌جایی از روش ترکیبی (بالادست - مرکزی) انجام شده است. با توجه به هم‌مکان بودن شبکه‌ی محاسباتی، برای جلوگیری از نوسان‌های فشار که در صورت عدم ارتباط میدان فشار و سرعت رخ می‌دهد از روش میان‌یابی رای - چو [۲۲] برای تعیین سرعت روی مرزهای حجم کنترل‌های حجم میان‌یابی استفاده شده است.

### ۳. اعتبارسنجی شبیه‌سازی عددی

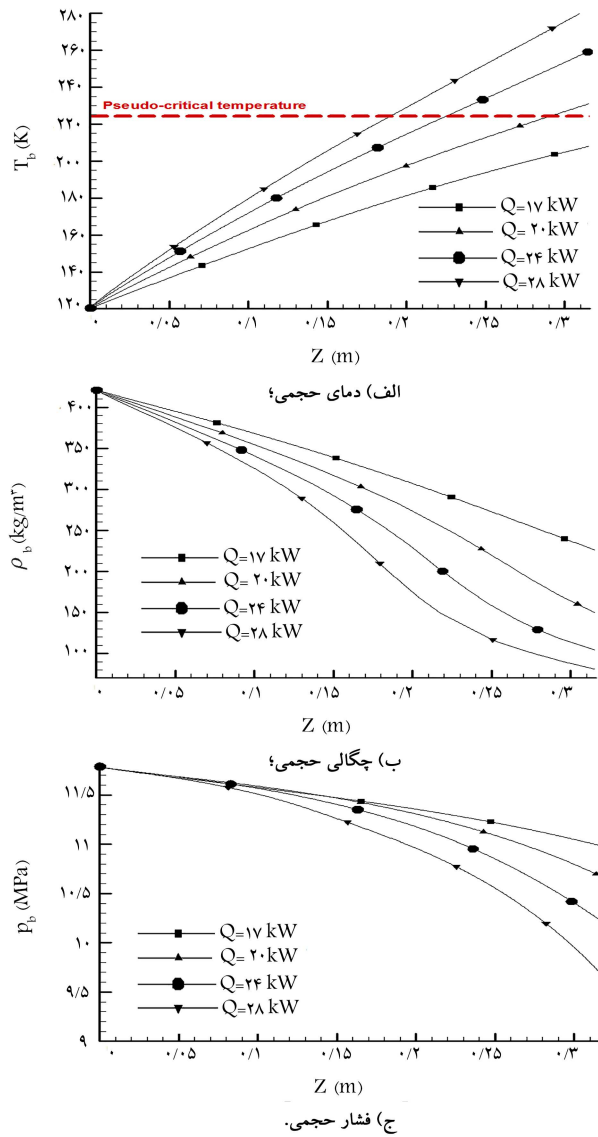
مرکز تحقیقات هواشناسی ایتالیا مجموعه‌یی از آزمون‌های تجربی به نام MTP را برای گردآوری اطلاعاتی در رابطه با رفتار متان در شرایط فوق بحرانی طراحی و اجرا کرده است. مدل MTP بلوکی از جنس آلیاز مس (AL-15-GlidCop®) است که با توجه به شکل ۱، شامل دو ناحیه‌ی سیال (کانال خنک‌کاری مستطیلی به ارتفاع ۳ میلی‌متر و پهنای پایه‌ی مدل ۱ میلی‌متر) و جامد (اطراف کانال) است. طول مدل ۳۱۶ میلی‌متر و پهنای پایه‌ی مدل ۱۲۵ میلی‌متر است.

در پژوهش حاضر، شرایط سه آزمون MTP شبیه‌سازی شده و رفتار متان با استفاده از نتایج آنها بررسی شده است. شرایط عملکردی آزمون سرد و دو آزمون گرم در جدول ۱ آورده شده است. حسگرهای مختلف در مدل MTP برای اندازه‌گیری پارامترهای ترمودینامیکی درنظر گرفته شده است. برای اعتبارسنجی نتایج نیز از دو ردیف حسگر واقع در ناحیه‌ی جامد (ارتفاع ۲ و ۱۴ میلی‌متر) و دو حسگر واقع در ناحیه‌ی سیال (وروودی و خروجی کانال مستطیلی) استفاده شده است. به دلیل تقارن مدل MTP نسبت به صفحه‌ی  $z$  -  $y$  نیمی از مدل در روند حل شبیه‌سازی شده است. شرایط مرزی اعمال شده به مدل عبارت اند از: شارح حرارتی ثابت ( $q_w$ ) به سطح پایینی ناحیه‌ی جامد؛ سطوح آدیباًتیک در قسمت‌های بیرونی ناحیه‌ی جامد؛ تقارن نسبت به صفحه‌ی  $z$  -  $y$ : دبی ( $m$ ) و دمای ( $T_i$ ) متان در ورودی کانال؛ فشار مatan ( $p_e$ ) خروجی کانال.

زیری کانال مستطیلی طبق جزئیات ارائه شده در مراجع [۳۰-۳۵] در نظر گرفته شده است. با توجه به کاهش ضریب هدایت حرارتی مس با افزایش دما، ضریب هدایت حرارتی در ناحیه‌ی جامد به صورت خطی از  $k_w = 325\text{ W/mK}$  در مراجع [۳۰-۳۵] در نظر گرفته شده است. با توجه به کاهش ضریب هدایت حرارتی مس با افزایش دما،



شکل ۱. مقطع عرضی آزمون MTP و شبکه محاسباتی.



شکل ۳. مقادیر  $T_w$ ,  $p_b$ ,  $\rho_b$  و  $P_{in}$  در طول کانال برای  $Q = 28 \text{ kW}$  و نزخ انتقال حرارت مختلف.

جریان بدون افت است. به ویژه در بیشترین نزخ انتقال حرارت  $Q = 28 \text{ kW}$  شبیب منحنی چگالی حدوداً در  $z = 1/18 \text{ m} > 0$  تغییر کرده و نزخ کاهش فشار کاملاً غیرخطی شده است (شکل های ۳ ب و ۳ ج). تغییر نزخ تغییرات خواص متان در  $z = 0 \text{ to } 1/18 \text{ m}$  برای  $Q = 28 \text{ kW}$  از طریق مقایسه رفتار فشار، چگالی و دمای حجمی با ظرفیت گرمایی ویژه در شکل ۵ قابل توجیه است. در طول  $z = 0 \text{ to } 1/18 \text{ m}$  دمای حجمی مtan به مقدار شبیه بحرانی رسیده است. با توجه به تغییر شدید خواص در نواحی بحرانی، ظرفیت گرمایی نزدیک دمای شبیه بحرانی مقدار بیشینه بی را نشان می دهد. می توان گفت که مtan قبل از طول  $1/18 \text{ m}$  شبیه مایع و بعد از آن شبیه گاز رفتار می کند. گذار بین این دو حالت نیز در نزدیکی موقعیت بیشینه ظرفیت گرمایی اتفاق افتاده است.

#### ۲.۴. اثر فشار ورودی

برای شناسایی پدیده HTD در کانال خنک کاری می توان گفت، در صورتی که

جامد ( $y = 2 \text{ mm}$ ) و  $y = 14 \text{ mm}$  رسم و با داده های تجربی آزمون MTP مقایسه شده اند. مقادیر دمای دیواره، تطابق خوبی با مقادیر داده های تجربی دارند.

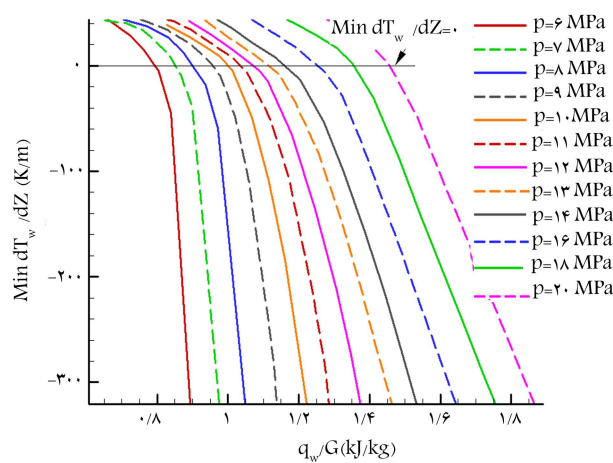
#### ۴. پیش‌بینی شروع HTD

برای بروز پدیده HTD در کانال MTP، شرایط جریان مtan با توجه به شرایط عملیاتی در موتورهای واقعی تغییر داده شده است. همان‌طور که اشاره شد، توزیع دمای دیواره و ضریب انتقال حرارت معیارهایی برای شناسایی افت انتقال حرارت جریان خنک کننده هستند. به گونه‌یی که در محدوده HTD، توزیع دمای دیواره در طول کانال خنک کاری دارای اوجی است در حالی که ضریب انتقال حرارت در همان محل مقدار کمینه را نشان می دهد. در ادامه اثر تغییر پارامترهای مؤثر بر HTD از جمله نزخ انتقال حرارت، فشار ورودی، دبی گرمی، دمای ورودی، زبری سطح بررسی شده است.

#### ۴.۱. اثر نزخ انتقال حرارت

اثر تغییر نزخ انتقال حرارت بر پدیده HTD در شکل های ۳ تا ۵، از طریق بررسی خواص مtan با  $p_b = 12 \text{ MPa}$ ,  $m = 20 \text{ g}/\text{s}$  درون کانال MTP با زبری سطح  $\epsilon = 1/\mu\text{m}$  برای نزخ های انتقال حرارت مختلف انجام شده است. با ارائه مقادیر حجمی دما، چگالی و فشار در شکل ۳ و مقادیر متوسط  $T_w$  و  $h_e$  در شکل ۴، سیر تکاملی جریان خنک کننده با افزایش شار حرارتی و زبری سطح بر در سه حالت ارائه شده در شکل ۳، به دلیل اثر شار حرارتی و زبری سطح بر جریان در طول کانال، دمای مtan بالا رفته، بنابراین چگالی آن کاهش یافته است. همچنین به دلیل اصطکاک دیواره، افت فشار با افزایش نزخ انتقال حرارت بیشتر شده است. با دقت در شکل های ۳ و ۴ دو نوع رژیم اصلی جریان قابل تشخیص است: یکی در نزخ های انتقال حرارت پایین - متوسط (بدون افت) و دیگری در نزخ های انتقال حرارت بالا (با افت). دومی از طریق نقطی اوج در توزیع دمای دیواره و افتی در ضریب انتقال حرارت قابل شناسایی است. رژیم بدون افت برای مقادیر  $Q < 20 \text{ kW}$  اتفاق افتاده که در این حالت دمای دیواره همواره در طول محور کانال افزایش می یابد (شکل ۴ الف) ضریب انتقال حرارت نیز روند کاهشی یکنواختی در طول کانال داشته (انتقال حرارت معمولی) و در برخی موارد افزایش ناچیزی در انتهای کانال مشاهده شده است (انتقال حرارت افزایشی). رژیم با افت برای مقادیر  $Q \geq 20 \text{ kW}$  اتفاق افتاده که در آن انتقال حرارت دچار افت شده و در همان مقطع که ضریب انتقال حرارت مقدار کمینه را نشان می دهد (شکل ۴ ب)، دمای دیواره نقطه‌ی اوج را نشان می دهد (شکل ۴ الف). مقدار آستانه‌ی  $Q_{HTD}$ ، نشان داده شده با نماد  $\circ$  (دایره‌ی تخلی) و یک خط ضخیم در شکل ۴، مرز بین دو رژیم انتقال حرارت بدون افت و با افت را تعریف می کند و از این رو شاخصی برای شروع HTD است.

در رژیم جریان بدون افت، با نزخ انتقال حرارت پایین - متوسط ( $Q < 20 \text{ kW}$ ), مقدار دمای حجمی مtan در طول کانال (شکل ۳ الف) همیشه کمتر از مقدار دمای شبیه بحرانی ( $224 \text{ K}$ ) است. اگرچه در حالت های  $Q > 20 \text{ kW}$ ، مقدار دمای دیواره بیشتر از مقدار شبیه بحرانی است (شکل ۴ الف) ولی افت انتقال حرارت برای این نزخ های انتقال حرارت مشاهده نشده است (شکل ۴ ب). تغییرات خواص مtan در رژیم جریان با افت، با نزخ انتقال حرارت بالا ( $Q \geq 20 \text{ kW}$ ), بیشتر از رژیم



شکل ۶. بر حسب  $\min \frac{dT_w}{dZ}$  در فشارهای مختلف.

دیواره در راستای طول کاتال ( $\frac{dT_w}{dZ}$ ) مقداری منفی است، در حالی که برای حالت بدون افت  $\min \frac{dT_w}{dZ}$  همیشه مثبت است. بنابراین، می‌توان مقدار ( $\frac{q_w}{G}$ ) متناسب با  $\frac{dT_w}{dZ} = 0$  هر فشار را به عنوان مقدار آستانه ( $\frac{q_w}{G})_{tr}$ ) برای شروع HTD در آن فشار در نظر گرفت. در شکل ۶، حداقل  $\frac{dT_w}{dZ}$  برای فشارهای مختلف در امتداد کاتال برحسب ( $\frac{q_w}{G}$ ) ارائه شده است. همان‌طور که در این شکل مشاهده می‌شود، شبیه تغیرات ( $\frac{q_w}{G}$ ) بعد از بروز HTD بیشتر شده و با افزایش فشار مقدار آستانه نیز افزایش یافته است. در واقع می‌توان گفت که شرایط شروع HTD یا مقدار ( $\frac{q_w}{G})_{tr}$ ) در فشارهای مختلف متفاوت است.

### ۳.۴. رفتار ( $q_w/G$ ) در فشارهای مختلف

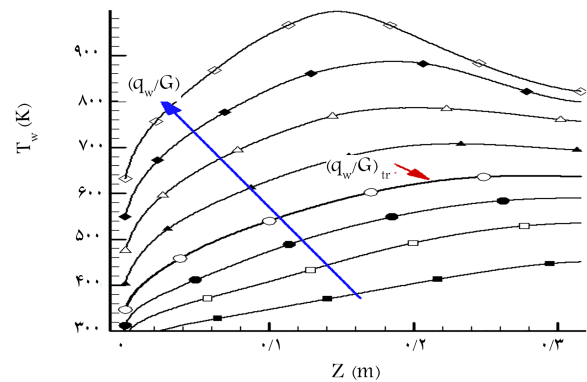
در تحقیقات انجام شده در زمینه HTD، نسبت شار حرارتی به شار جرمی ( $\frac{q_w}{G}$ ) شاخصی برای پدیده‌ی HTD معرفی شده است. اگر دمای سیال خنک‌کننده در ورودی پایین‌تر از مقدار شبه‌بhydratی بوده و  $(\frac{q_w}{G}) > (\frac{q_w}{G})_{tr}$  باشد، در این جریان افت انتقال حرارت رخ‌خواهد داد. دریان علت اهمیت ( $\frac{q_w}{G}$ ) در شناسایی پدیده‌ی HTD می‌توان به این نکته اشاره کرد که ( $\frac{q_w}{G}$ ) مستقیماً به گرادیان آنتالپی سیال خنک‌کننده می‌توان گفت که تمامی گرمای ورودی به کاتال خنک‌کاری صرف افزایش آنتالپی سیال خنک‌کننده می‌شود. بنابراین برای بخشی از کاتال با طول  $Z$  می‌توان نوشت:

$$q_w P dZ = \dot{m} dh_b = G A dh_b,$$

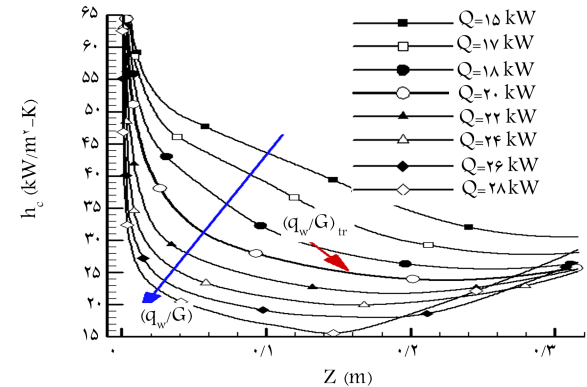
$$h_b = \frac{\int_A h \rho |\vec{V} \cdot d\vec{A}|}{\int_A \rho |\vec{V} \cdot d\vec{A}|} \quad (2)$$

$$\frac{q_w}{G} = \frac{A}{P} \frac{dh_b}{dZ} \quad (3)$$

که در آن  $h_b$  آنتالپی حجمی،  $q_w$  شار حرارتی دیواره،  $\dot{m}$  دمای جرمی،  $G$  شار جرمی، مساحت  $A$  و  $P$  محیط کاتال است.  $\vec{V}$  و  $\vec{A}$  نیز به ترتیب بردار سرعت و مساحت سلول  $i$ ام هستند. رابطه‌ی ۳ بیان می‌کند که مقدار توان داده شده به سیال ( $\frac{q_w}{G}$ ) در طول  $dZ$  که معادل گرادیان آنتالپی داده شده به سیال ( $\frac{dh_b}{dZ}$ ) است، بیشترین تأثیر را بر HTD دارد. با افزایش مقدار ( $\frac{q_w}{G}$ ) مقدار آنتالپی سیال نیز در طول  $dZ$  بیشتر می‌شود. بنابراین اگر ( $\frac{q_w}{G})_{tr}$ ) را معادل با بیشترین مقدار  $h_b$  یا توانایی جذب

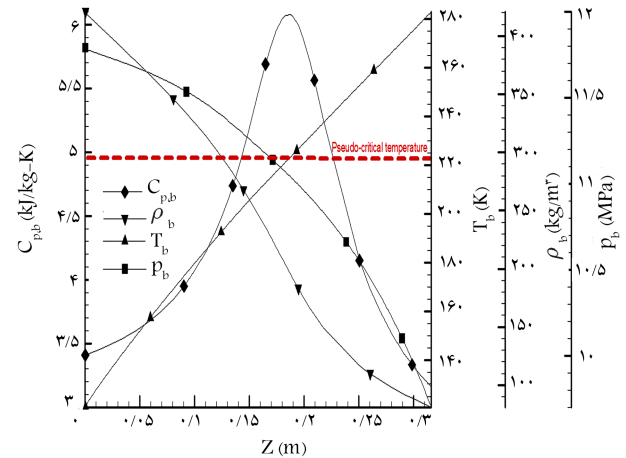


الف) دمای دیواره؛



ب) ضریب انتقال حرارت.

شکل ۷. مقادیر متوسط  $T_w$  و  $h_c$  در طول کاتال برای  $P_{in} = 12 MPa$  و  $\frac{q_w}{G} \approx 0.75 - 1.8 \frac{kJ}{kg}$

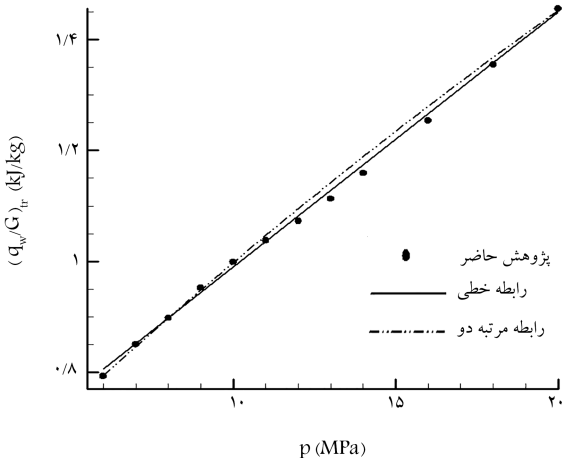


شکل ۸. مقادیر  $C_{p,b}$ ،  $\rho_b$  و  $T_b$  در طول کاتال برای  $P_{in} = 12 MPa$  و  $Q = 28 kW$

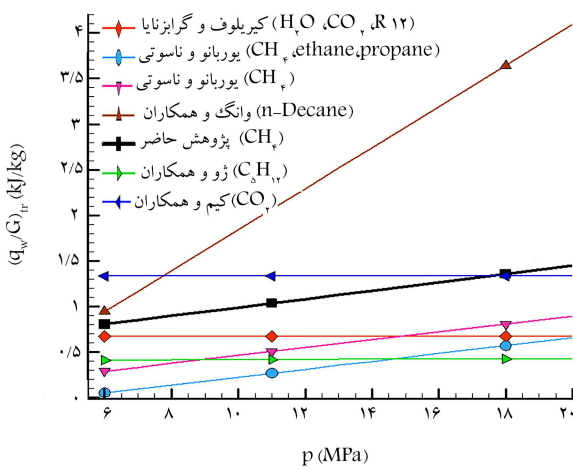
توزیع دمای دیواره در طول کاتال خنک‌کاری دارای نقطه‌ی اوج باشد در حالی که ضریب انتقال حرارت در همان محل مقدار کمینه را نشان دهد، افت انتقال حرارت رخ داده است. از سوی دیگر، جریان با انتقال حرارت ها، دمای دیواره همیشه در طول کاتال افت نمی‌شود، زیرا در این نوع انتقال حرارت‌ها، دمای دیواره همیشه در طول کاتال افزایش می‌یابد و با انتقال حرارت به سیال خنک‌کننده، دمای حجمی آن را افزایش می‌دهد. حالت آستانه (شرایط بروز HTD)، مرز بین حالت‌های انتقال حرارت معمولی و افت یافته است. بدین ترتیب، در شرایط بروز HTD، کمترین مشتق دمای

جدول ۳. روابط پیشنهادی  $(q_w/G)_{tr}$  بر حسب فشار ورودی برای خنک کننده‌ی متانی در کانال مستطیلی.

درصد خطأ	رابطه	$\left(\frac{q_{uw}}{G}\right)_{tr} = \dots / 0.46p + \dots / 0.53$	$\left(\frac{q_{uw}}{G}\right)_{tr} = -\dots / 0.003849p^+ + \dots / 0.751p + \dots / 0.46587$
٪ ٧٣	خطي	$\left(\frac{q_{uw}}{G}\right)_{tr}$	مرتبه دو



شکل ۷. در فشارهای مختلف.  $(\frac{q_w}{G})_{tr}$



شکل ۸. مقایسه‌های  $(\frac{q_w}{G})_{tr}$  حاصل از رابطه‌ی پیشنهادی در مقالات و مطالعه‌ی حاضر برای فشارهای مختلف.

تحمیل  $\frac{q_{w}}{G}$ ) استخراج کرده‌اند. در شکل ۸ مشاهده می‌شود که رابطه‌ی پژوهش حاضر و دو رابطه‌ی پیشنهادی توسط یوربانو و ناسوتی<sup>[۸]</sup> برای متنان، روندی مشابه داشته و فقط یفت در داده‌ها مشاهده می‌شود. در مطالعه‌ی دیگر<sup>[۹]</sup> با استفاده از داده‌های تبربی، دقت رابطه‌ی یوربانو و ناسوتی<sup>[۱۰]</sup> در پیش‌بینی شروع HTD متنان بررسی و چنین بیان شد که این رابطه چون برای مدلی دایری و دوبعدی با حرارت‌دهی مقارن استخراج شده، لازم است برای کانال‌های مستطبیلی در شرایط عملکردی موتورهای واقعی اصلاح شود.

۴.۴. اثر دمای ورودی

برای بررسی اثر تغییر دمای ورودی بر پدیده HTD، رفتار دمای دیواره و برخی از پارامترهای ترمودینامیکی جریان متنان با  $\dot{m} = ۲۰ \frac{kg}{s}$  و  $p_i = ۱۲ MPa$

گرما توسط سیال خنک کننده در فشار و دمایی مشخص در نظر بگیریم، زمانی که باشد  $HTD > \left( \frac{q_w}{C} \right)_{tr}$  و  $\left( \frac{q_w}{C} \right)$  آمد.

چندین مطالعه‌ی عددی و تجربی به بررسی اثر فشار و دمای سیال خنک‌کننده

بر HTD پرداخته اند. درین مطالعات بیان شده است که مدار  $\frac{tr}{G}$  به فشار، و دمای، و ودی، سال، خنک کشیده سنتگ، دارد. در میان این تحقیقات،

بوربانو<sup>[۶]</sup> با استفاده از نتایج عددی شبیه‌سازی متن درون کانال دایروی، به تأثیر شرایط تمودنامیکی، ورودی، «HTD»، «رسه»، کرده است. نتایج این تحقیقات

نشان داده اند که با کاهش فشار ورودی،  $HTD$  در مقدار  $(\frac{q_w}{G})$  کمتری رخ می‌دهد.

با موقوعیت شبیه تغییر فاز سیال است، بیشتر می‌شود. از سوی دیگر، با کاهش دمای

ورودی در یک فشار ورودی مشخص و شرایط  $\left(\frac{q_w}{G}\right)_{tr} > \left(\frac{q_w}{G}\right)$  نتیجه ای اوج دمای دیواره به پایین دست کانال حرکت کرده و بیشینه‌ی دمای دیواره افزایش می‌بادد.

برای بررسی اثر تغییر فشار بر پدیده‌ی HTD، با توجه به وابستگی  $\left(\frac{q_w}{G}\right)_{tr}$  به فشار متن، شبیه‌سازی جریان متن با  $\dot{m} = 20 \text{ kg/s}$  و  $K = 120$  درون

کاتال MTP با زیری سطح  $1/\mu m$  برای فشارهای ورودی مختلف (۶) انجام شده است. برای هر فشار ورودی، شار حرارتی  $p_{in} \leq 20 MPa$

چنان در نظر گرفته شده که هر دو ریز افت یا فله و بدون افت مشاهده شود. سپس با استفاده از معیار  $\frac{dT_w}{dZ} = \frac{dT_w}{dZ}$ , که قبلاً برای تشخیص شروع HTD تعریف شده

بود، از نمودار  $\frac{d\Gamma_w}{dZ}$  مربوط به هر فشار مقدار  $(\frac{q_w}{G})$  محاسبه شد. با توجه به نتایج حاصل از شکل ۶ مشاهده شد که مقدار  $(\frac{q_w}{G})$  در هر فشار متفاوت است.

است. با رسم مقادیر  $\frac{q_w}{G}$  مریبوط به هر فشار در شکل ۷، روابطی برای مقدار آستانه و فشار ورودی سیال خنک کننده متابی در کاتال مستطیلی طبق جدول ۳

پیشنهاد شده است. در این روابط  $\frac{q_w}{G}$  بر حسب  $P_{in}$  [kg/kg] و  $G$  [MPa] است. داده های عددی و روابط پیشنهادی در شکل ۷ با یکدیگر مقایسه و

مشاهده شد که این روابط با تقریب خوبی داده‌های عددی را پوشش می‌دهند (با خطای کمتر از ۱٪). بنابراین می‌توان ادعا کرد که مقدار  $(\frac{q_w}{G})_{tr}$  برای خنک‌کننده‌ی

متانی در کانال‌های مستطیلی به صورت خطی با تغییر فشار و رودی تغییر می‌کند. مقدار  $t_{tr} = \frac{q_w}{G}$  روابط برای فشارهای مختلف در شکل ۸ با رابطه‌ی پیشنهادی

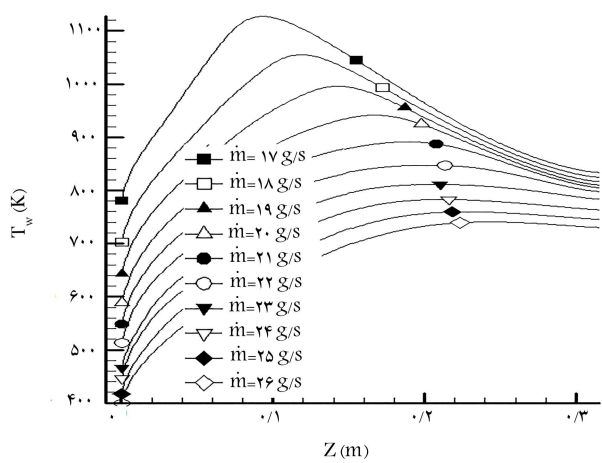
در جدول ۳ مقایسه شده است. نتایج رابطه‌ی پیشنهادی در مطالعه‌ی حاضر با خط مشکلی برگسته و با نماد □ (مربع) در شکل ۸ مشخص شده است. مشاهده

می شود، هیچ کدام از روابط ارائه شده در مقالات برای پیش بینی شروع افت انتقال حرارت خنک کننده متان دونون کانال مستطیلی، برای محدوده گسترده‌ی از فشار

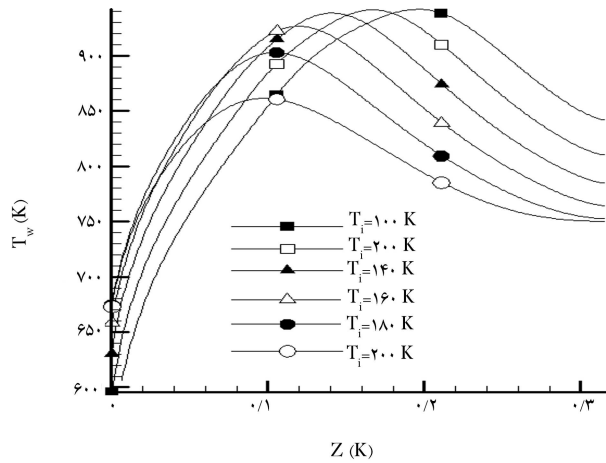
ورودی مناسب نیستند. این امر ممکن است به دلیل سیال کاری، شرایط عملکردی و هندسه‌ی کانال متفاوت در این مقالات نسبت به پژوهش حاضر باشد. باید به

این نکته توجه کرد که تمام روابط ارائه شده در مقالات برای سیالات عبوری از کانال‌های داروی و تحت حارت‌دهی، متقاضی استخراج شده اند که کاملاً متفاوت

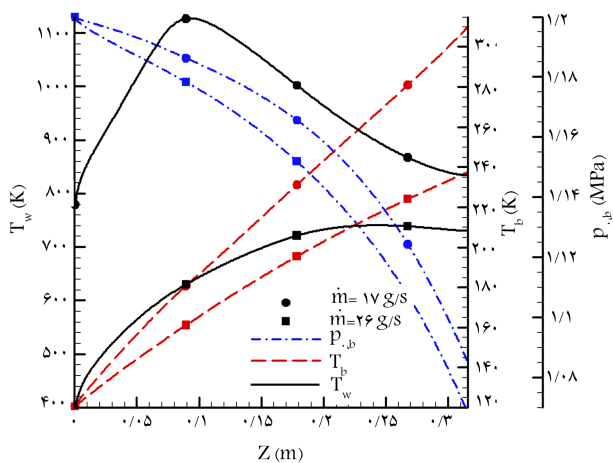
با شرایط عملکردی در موتورهای واقعی است. همچنین، به جز مقالات یوربانو و ناسوتومی<sup>[۸-۱۰]</sup>، شروع HTD در مقالات دیگر، به طور واضح تعریف نشده است.<sup>[۱]</sup>



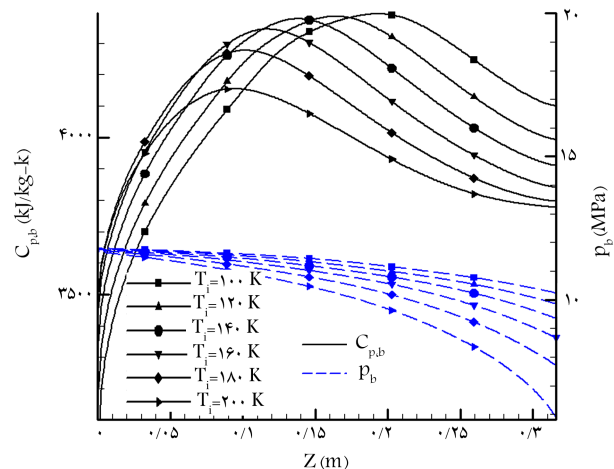
شکل ۱۱. مقدار متوسط  $T_w$  در طول کanal برای دبی جرمی های مختلف و  $P_{in} = 12 MPa$



شکل ۹. مقدار متوسط  $T_w$  در طول کanal برای دماهای ورودی مختلف و  $P_{in} = 12 MPa$



شکل ۱۲. مقایسه توزیع  $T_w$ ,  $T_b$ ,  $p_b$  در طول کanal برای  $T_b$ ,  $T_w$  و  $p_b$  در  $m = 17 \frac{g}{s}$  و  $m = 25 \frac{g}{s}$



شکل ۱۰. مقایسه توزیع  $C_{p,b}$  و  $p_b$  در طول کanal برای دماهای ورودی مختلف و  $P_{in} = 12 MPa$

تفاوت فاز کمتر است.<sup>[۶]</sup> به همین دلیل، به ازای  $T_{in}$  بالاتر تغییرات عرضی پارامترهای ترمودینامیکی کمتر بوده و افت انتقال حرارت ناشی از تغییرات پارامترهای جریان در عرض کanal، بهتر شده است ( $T_{w,max}$  کمتر شده است). به طور کلی می توان گفت که پدیده HTD در دماهای ورودی کمتر از مقادیر بحرانی اتفاق خواهد افتاد و با افزایش دمای ورودی می توان این پدیده را از بین برد.

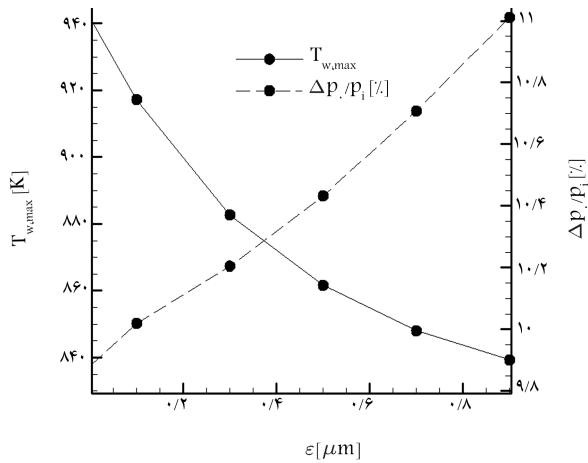
#### ۴. اثر دبی جرمی

برای بررسی رفتار HTD در دبی های جرمی مختلف، رفتار دمای دیوارهی جریان متان با  $T_{in} = 120 K$ ,  $p_i = 12 MPa$  و  $Q = 27 kW$  برای دبی های مختلف در شکل ۱۱ مقایسه شده است. چنان که مشاهده می شود، با افزایش دبی مقدار  $T_w$  کمتر شده است. علت این اتفاق، بالا رفتن سطح انرژی توربولانسی جریان خنک کننده و نفوذ آشفتگی<sup>۳</sup> بیشتر در دبی های بالاتر است. همچنین، ضخامت لایهی مرزی با افزایش دبی کاهش یافته و تغییرات عرضی پارامترهای ترمودینامیکی کمتر می شود.<sup>[۲۲]</sup> با تابعیت  $T_w$  می توان گفت که شدت پدیده HTD در دبی های بیشتر کاهش می یابد.

مقادیر  $T_w$ ,  $T_b$ ,  $p_{o,b}$  در طول کanal برای  $m = 17 \frac{g}{s}$  و  $m = 25 \frac{g}{s}$  در شکل ۱۲ با یکدیگر مقایسه شده است. با بالا رفتن دبی جرمی درون کanal با سطح مقطع ثابت، حجم سیال خنک کننده عبوری از کanal بیشتر شده و گرمای منتقل شده

$Q = 25 kW$  برای شش مقدار متفاوت دمای ورودی در شکل های ۹ و ۱۰ مقایسه شده است. دمای شبیه بحرانی به ازای  $p_i = 12 MPa$  با  $T_{ps} \approx 224 K$  برابر با  $p_i = 12 MPa$  است و مقدار تمام دمای ورودی بررسی شده کمتر از مقدار شبیه بحرانی است. در دمای ورودی زیر بحرانی، متان با گرم شدن در طول کanal از نقطهی بحرانی عبور کرده (متناظر با بیشینهی  $C_{p,b}$  در شکل ۱۰) و به ازای  $Q = 27 kW$  دچار افت انتقال شده است (متناظر با  $T_{w,max}$  در شکل ۹). با توجه به شکل ۹، با افزایش دمای ورودی مقدار  $T_{w,max}$  کمتر شده و موقعیت HTD عقب تر رفته است.

برای بررسی رفتار HTD با افزایش دمای ورودی، توزیع  $C_{p,b}$  و  $p_b$  در طول کanal در شکل ۱۰ نشان داده شده است. با توجه به ثابت بودن  $A$ ,  $P_{in}$  و  $m$ ، با افزایش دمای ورودی مقدار سرعت جریان و در نتیجه، افت فشار افزایش می یابد. در چنین شرایطی جریان زودتر به شرایط بحرانی می رسد. با دقت در شکل ۱۰ مشاهده می شود که با افزایش  $T_{in}$  به موقعیت بیشینهی  $C_{p,b}$  به سمت ورودی کanal رفته و مقدار  $p_b$  بیز کمتر شده است. علاوه بر این، مقدار بیشینهی  $C_{p,b}$  با افزایش  $T_{in}$  کمتر شده است؛ یعنی در دماهای ورودی بالاتر، سیال خنک کننده مسافت کمتری برای رسیدن به دمای بحرانی طی کرده و در فشار بیشتری به شرایط بحرانی رسیده است. با افزایش فشار بحرانی، تغییر پارامترهای ترمودینامیکی در مسیر شبیه



شکل ۱۴. مقادیر دمای دیواره بیشینه و درصد افت فشار برای زبری‌های مختلف و  $P_{in} = 12 MPa$

بهتر حرارت در جهت عرضی می‌شود، مقادیر دمای دیواره بیشینه کمتر شده است. به عبارتی HTD در مقادیر زبری پایین اتفاق خواهد افتاد. همچنین نتایج نشان می‌دهد موقعیت دمای بیشینه دیواره با موقعیت بروز HTD با افزایش زبری تغییر ناچیزی داشته ولی شدت HTD با افزایش زبری کمتر شده است.

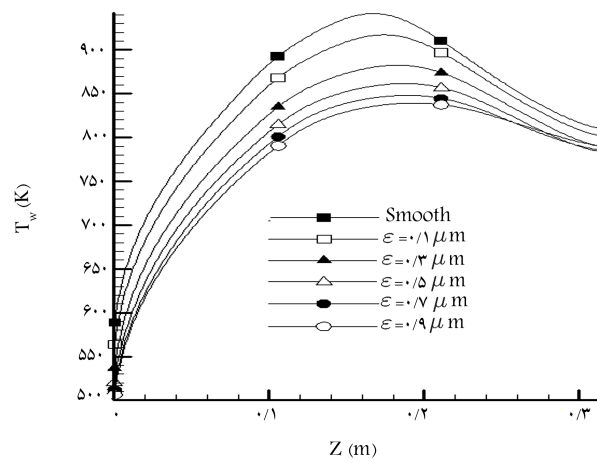
در شکل ۱۴ مقادیر دمای دیواره بیشینه ( $T_{w,max}$ ) و درصد افت فشار ( $\frac{\Delta P}{P_i}$ ) برای دیواره صاف و پنج مقادیر متفاوت زبری ارائه شده است. با افزایش زبری، میزان  $T_{w,max}$  کمتر و لی افت فشار بیشتر شده است. بنا بر این، می‌توان تنبیجه گرفت که افت جریان با افزایش زبری سطح افزایش می‌یابد. بنا بر این، در طراحی ها باید مقدار بهینه‌ی برای زبری در نظر گرفت تا علاوه بر کنترل HTD، افت جریان کمتر نیز حاصل شود.

## ۷. نتیجه‌گیری

بررسی پدیده افت انتقال حرارت میان در رژیم گذر بحرانی درون کانال‌های خنک کاری دارای اهمیت است. برای بررسی این پدیده، حلگری سه بعدی برای تخمین پارامترهای تأثیرگذار بر شناسایی پدیده افت انتقال حرارت توسعه داده شده است. مدل هایی سه بعدی از کانال‌های خنک کاری در فشار ورودی، دبی جرمی، دمای ورودی شارهای حرارتی و زبری سطح مختلف شبیه‌سازی شده‌اند.

روابطی برای پیش‌بینی شروع پدیده افت انتقال حرارت میان در طول کانال خنک کاری مستطیلی استخراج شد. برخی از نتایج حاصل در این بخش عبارت اند از:

- نسبت شار حرارتی به شار جرمی ( $\frac{q_w}{G}$ ) شاخصی برای پدیده HTD است. اگر دمای سیال خنک کننده در ورودی پایین‌تر از مقادیر شبیه بحرانی بوده و پژوهش حاضر مشاهده شد که  $(\frac{q_w}{G})_{tr} > (\frac{q_w}{G})$  باشد، در این جریان افت انتقال حرارت رخ خواهد داد. در روابطی برای تخمین آن در فشارهای مختلف پیشنهاد شده است.
- در شرایطی که توزیع دمای دیواره در طول کانال خنک کاری دارای نقطه اوج باشد در حالی که ضریب انتقال حرارت در همان محل مقدار کمیته را نشان دهد، افت انتقال حرارت رخ داده است.
- در شرایط بروز HTD، حداقل مشتق دمای دیواره در راستای طول کانال ( $\frac{dT_w}{dZ}$ )



شکل ۱۳. مقدار متوسط  $T_w$  در طول کانال برای زبری‌های مختلف و  $P_{in} = 12 MPa$

از دیواره به کانال در میان حجم بیشتری از سیال توزیع می‌شود. چنان که مشاهده می‌شود، به ازای نجح انتقال حرارت ثابت، مقدار دمای حجمی در  $m = 26 \frac{g}{s}$  کمتر دمای حجمی در  $m = 17 \frac{g}{s}$  است بنابراین، سیال خنک کننده در دبی جرمی بالاتر طول بیشتری را برای رسیدن به دمای بحرانی طی خواهد کرد و موقعیت آن HTD جلوتر خواهد بود. با توجه به ثابت بودن  $A$  و  $T_{in}$  و  $P_{in}$  مقدار سرعت جریان و بنابراین، افت فشار افزایش می‌یابد. همچنین، با افزایش دبی در شار حرارتی ثابت، به دلیل بیشتر شدن انرژی توربولانسی جریان، پخش حرارت در جهت عرضی بهتر شده و تغییرات عرضی پارامترهای ترمودینامیکی کمتر می‌شود. بنابراین، دمای دیواره و شدت افت کمتر است. براین اساس، در شکل ۱۲ نیز قابل مشاهده است که در  $m = 26 \frac{g}{s}$  به دلیل سرعت ورودی و نفوذ آشفتگی بیشتر، مقدار بیشینه دمای دیواره کمتر، ولی افت فشار جریان بیشتر از  $m = 17 \frac{g}{s}$  است. در کل می‌توان گفت، پدیده HTD در دبی‌های پایین اتفاق می‌افتد و با افزایش دبی می‌توان این پدیده را از بین برد.

## ۶. اثر زبری سطح

دیواره‌های MTP از جنس مس  $\alpha$  بوده و به دلیل زبری سطح ( $14/5 \mu m$ ) و دبی جرمی بالا، پدیده افت انتقال حرارت در این آزمون ها رخ نداده است.<sup>[۲۸]</sup> در این بخش، برای بروز پدیده HTD در کانال MTP، زبری سطح دیواره‌های مدل با توجه به محدوده‌ی مجاز زبری در محفظه‌های ساخته شده از جنس مس در بازه  $0.1 \text{ تا } 0.9$  میکرومتر تغییر داده شده است. با اعمال مقادیر متفاوت به عوامل ارتفاع زبری ( $\epsilon$ ) در تمام دیواره‌های کانال، تأثیر تغییر این ضریب بر دمای دیواره، ضریب انتقال حرارت و افت فشار در شکل‌های ۱۳ و ۱۴ بررسی شده است.

در شکل ۱۳ توزیع دمای دیواره میانگین برای زبری‌های مختلف در  $P_{in} = 12 MPa$  و  $m = 20 \frac{g}{s}$  ارائه شده است. درون کانال خنک کاری مستطیلی با حرارت دهی نامتقارن، پخش حرارت در جهت عرضی نسبت به طول کمتر است. عمل این امر تشکیل لایه‌های شبیه گازی با سرعت بیشتر نزدیک دیواره‌ها نسبت به مرکز کانال است. با بالا رفتن شار حرارتی، تغییرات عرضی پارامترهای ترمودینامیکی زیاد شده و افت انتقال حرارت به وجود خواهد آمد.<sup>[۱۸]</sup> با توجه به نتایج مشاهده می‌شود که با افزایش ارتفاع زبری دیواره‌ها که باعث آشفته‌تر شدن جریان و پخش

- $q$ : شار حرارتی؛
- $R$ : ثابت جهانی گاز؛
- $Re$ : عدد رینولدز؛
- $S_\phi$ : عبارت چشممه؛
- $T$ : دما؛
- $t$ : زمان؛
- $u$ : مؤلفه‌ی سرعت؛
- $U$ : اندازه‌ی سرعت؛
- $x_i$ : بردار مختصات کارتزین؛
- $X, Y$  و  $Z$ : مختصات پایه، ارتفاع و طول کanal؛
- $y^+$ : فاصله بدون بعد از دیواره.

### علامیونانی

- $\mu$ : لزجت مولکولی؛
- $\rho$ : چگالی؛
- $\Gamma_\phi$ : ضریب نفوذ؛
- $\Phi$ : کمیت انتقالی.

### زیرنویس‌ها

- $b$ : مقدار حجمی؛
- $c$ : مقدار بحرانی؛
- $e$ : خروجی؛
- $i$ : ورودی؛
- $ps$ : مقدار شبه‌بحرانی؛
- $s$ : مقدار استاتیکی؛
- $w$ : دیوار.

### فهرست علامت

- $A$ : مساحت مقطع عرضی؛
- $C_p$ : گرمای ویژه در فشار ثابت؛
- $D_h$ : قطر هیدرولیکی؛
- $H$ : آنتالپی کل؛
- $h$ : ضریب انتقال حرارت جابه‌جای؛
- $k$ : ضریب هدایت حرارتی؛
- $m$ : دیجرمی؛
- $Nu$ : عدد ناسلت؛
- $Pr$ : عدد پرانتل؛
- $p$ : فشار؛

### پابنوه‌ها

- pentane
- SC-CO<sub>2</sub>
- turbulence diffusion
- glidCop®AL-15

### (References) متابع

- Yamagata, K., Nishikawa, K., Hasegawa, S. and et al. “Forced convective heat transfer to supercritical water flowing in tubes”, *International Journal of Heat and Mass Transfer*, **15**, pp. 2575-2593 (1972).
- Pioro, IL. and Duffey, RB. “Experimental heat transfer in supercritical water flowing inside channels (survey)”, *Nuclear Engineering and Design*, **235**22, pp. 2407-2430, (2005).
- Grabezhnaya, VA. and Kirillov, PL. “Heat transfer under supercritical pressures and heat transfer deteriora-
- tion boundaries,” *Thermal Engineering*, **53**4, pp. 296-301 (2006).
- Cheng, X., Kuang, B. and Yang, YH. “Numerical analysis of heat transfer in supercritical water cooled flow channels”, *Nuclear Engineering and Design*, **237**3, pp. 240-252 (2007).
- Zhou, WX., Bao, W. and Qin, J. “Deterioration in heat transfer of endothermal hydrocarbon fuel”, *Journal of Thermal Science*, **20**, pp. 173-180 (2013).
- Urbano, A. and Nasuti, F. “Parametric analysis of heat transfer to supercritical-pressure methane”, *Journal of Thermophysics and Heat Transfer*, **26**3, pp. 450-463 (2012).
- Urbano, A. and Nasuti, F. “On the onset of heat transfer deterioration in supercritical coolant flow channels”, *Journal of Thermophysics and Heat Transfer*, **27**2, pp. 298-308, (2013).
- Urbano, A. and Nasuti, F. “Condition for the occurrence of heat transfer deterioration in light hydrocarbons

- flow”, *International Journal of Heat and Mass Transfer*, **65**, pp. 599-609 (2013).

  9. Wang, Y., Li, S. and Dong, M. “Numerical study on heat transfer deterioration of supercritical n-decane in horizontal circular tubes”, *Energies*, **7**, pp. 7535-7554 (2014).
  10. Liu, Z., Liang, J. and Pan, Y. “Numerical analysis of heat transfer deterioration of china RP-3 aviation kerosene in a circular tube at supercritical pressures”, *11th AIAA/ASME Joint Thermophysics and Heat Transfer Conference*, **1**, pp.3358, (2014).
  11. Pizzarelli, M. “A CFD-derived correlation for methane heat transfer deterioration”, *Numerical Heat Transfer, Part A*, **693**, pp. 242-264 (2016).
  12. Cheng, Z., Tao, Z., Zhu, J. and et al. “Heat transfer deterioration onset of hydrocarbon fuel at supercritical pressure”, *ASME Turbo Expo 2017: Turbomachinery Technical Conference and Exposition. American Society of Mechanical Engineers* (2017).
  13. Cai, C., Wang, X., Mao, S. and et al. “Heat transfer characteristics and prediction model of supercritical carbon dioxide (SC-CO<sub>2</sub>) in a vertical tube”, *Energies*, **1011**, pp. 1870 (2017).
  14. Arun, M. and Prakash, M. “Heat transfer deterioration effects of cryogenic methane in rocket engine cooling channels”, *Frontiers in Heat and Mass Transfer (FHMT)*, **11**(9), pp.1-10 (2018).
  15. Shokri, M. and Ebrahimi, A. “Heat transfer aspects of regenerative-cooling in methane-based propulsion systems”, *Aerospace Science and Technology*, **82**, pp. 412-24 (2018).
  16. Shokri, M. and Ebrahimi, A. “Improvement of heat-transfer correlations for supercritical methane coolant in rectangular channel”, *Applied Thermal Engineering*, **147**, pp.216-30 (2019).
  17. Haemisch, J., Suslov, D., Oschwald, M., “Experimental Study of Methane Heat Transfer Deterioration in a Subscale Combustion Chamber”, *Journal of Propulsion and Power*, **35**(4), pp.819-826 (2019).
  18. Lee, H. and Howell, JR. “Turbulent developing convective heat transfer in tube for fluid near the critical point”, *International Journal of Heat Mass Transfer*, **4110**, pp. 1205-1218 (1997).
  19. Versteeg, H. and Malalasekera, W. “An introduction to computational fluid dynamics: the finite volume method”, *Pearson Education* (2007).
  20. Spalart PR, Allmaras SR, “A one-equation turbulence model for aerodynamic flows”, AIAA Paper 1992-0439, (1992).
  21. Kunz, O. and Wagner, W. “The GERG-2008 wide-range equation of state for natural gases and other mixtures: an expansion of GERG-2004”, *Journal of Chemical and Engineering Data*, **5711**, pp. 3032-3091 (2012).
  22. Younglove, BA. and Ely, JF. “Thermophysical properties of fluids. II. methane, ethane, propane, isobutene and normal butane”, *Journal of Physical and Chemical Reference Data*, **16** 4, pp. 577-798 (1987).
  23. Quinones-Cisneros, SE. and Deiters, UK. “Generalization of the friction theory for viscosity modeling”, *The Journal of Physical Chemistry B*, **11025**, pp. 12820-12834 (2006).
  24. Rhie, CM. and Chow, WL. *Numerical Study of the Turbulent Flow Past an Airfoil with Trailing Edge Separation*, AIAA Paper 1525-1532, (1983).
  25. Votta, R., Battista, F., Ferraiuolo M. and et al. *Design of an experimental campaign on methane regenerative liquid rocket engine cooling system*, AIAA Paper 2013-4146 (2013).
  26. Votta, R., Battista, F., Salvatore V., and et al. “Experimental investigation of transcritical methane flow in rocket engine cooling channel”. *Applied Thermal Engineering*, **101**, pp.61-70 (2016).
  27. “Experimental , D., Natale, P., Battista, F. and et al. Ricci investigation on the transcritical behaviour of methane and numerical rebuilding activity in the frame of the hyprob-bread project”, *The ASME International Mechanical Engineering Congress & Exposition*, November 13-19 (2015).
  28. Ricci, D., Natale, P. and Battista, F. “Experimental and numerical investigation on the behavior of methane in supercritical conditions”, *Applied Thermal Engineering*, **107**, pp. 1334-53 (2016).
  29. Pizzarelli, M., Nasuti, F., Votta, R. and et al. “Validation of conjugate heat transfer model for rocket cooling with supercritical methane”, *Journal of Propulsion and Power*, **32**, pp.1-8 (2016).
  30. Assessment Pizzarelli, M., Nasuti F., Votta, R. and et al. ‘ of a conjugate heat transfer model for rocket engine cooling channels fed with supercritical methane”, *In 51st AIAA/SAE/ASEE Joint Propulsion Conference*, pp. 3852 (2015).
  31. Shiralkar, BS. and Griffith, P. “Deterioration in heat transfer to fluids at supercritical pressure and high heat fluxes”, *Journal of Heat Transfer*, **911**, pp. 27-36 (1969).
  32. Zhao, C. and Jiang, P. “Experimental study of in-tube cooling heat transfer and pressure drop characteristics of R134a at supercritical pressures”, *Experimental Thermal and Fluid Science*, **35**, 7, pp. 1293-1303 (2011).
  33. Xu, S., Chen, X. and Fan, Z. “CFD simulation of supercritical LNG heat transfer in a horizontal tube of an intermediate fluid vaporizer”, *American Society of Mechanical Engineers*, ASME 2017, PVP2017- 65669 (2017).
  34. Giovanetti, A., Spadaccini, LJ. and Szetela, E. “Deposite formation and heat-transfer characteristics of hydrocarbon rocket fuels”, *Journal of Spacecraft and Rockets*, **225**, pp. 574-580 (1985).
  35. Frohlich, A., Immich, H., Lebail, F. and et al. “Scheuerer G. three-dimensional flow analysis in a rocket engine coolant channel of high depth/width ratio”, *In 27th Joint Propulsion Conference*, pp.2183 (1991).
  36. Cook, RT. “Advanced Cooling Techniques for High-Pressure Hydrocarbon-Fueled Engines”, NASA-CR-159790, (1979).